## Mecânica dos Fluidos ESCOAMENTO EXTERNO, VISCOSO E INCOMPRESSÍVEL

R. Sobral

DEPARTAMENTO DE ENGENHARIA MECÂNICA

rodolfo.sobral@cefet-rj.br

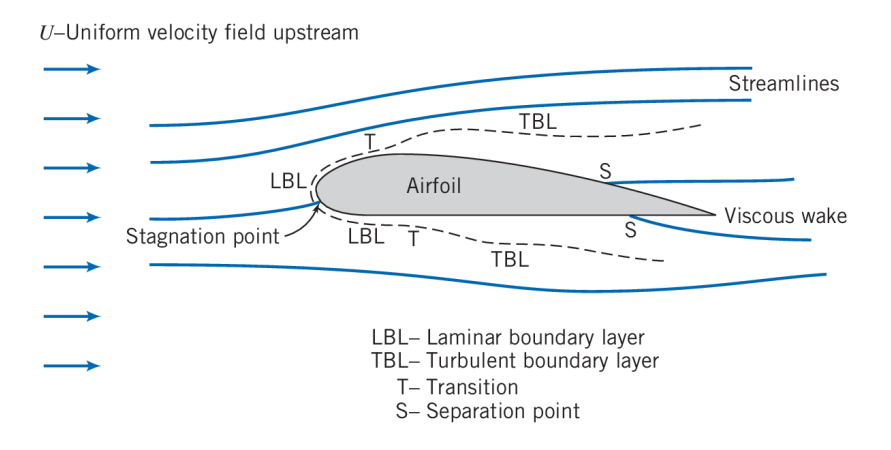


### Programa do Curso - Avaliação 02

- Escoamento invíscido
- Escoamento interno
- Escoamento externo
- Escoamento compressível



#### Escoamento ao Redor do Aerofólio



Escoamento externo é qualquer escoamento sobre corpos imersos em fluido sem fronteiras



#### Era Moderna - Aerodinâmica

- ullet 1755  $egin{array}{ll} \rightarrow & {\sf Escoamento\ Invíscido\ (Leonhard\ Euler);} \end{array}$
- ullet 1845 ullet Campos do Escoamento (Navier-Stokes);
- 1904  $\rightarrow$  Camada Limite (Ludwig Prandtl);



### JetFoil/HydroFoil

VÍDEO 01

VÍDEO 02

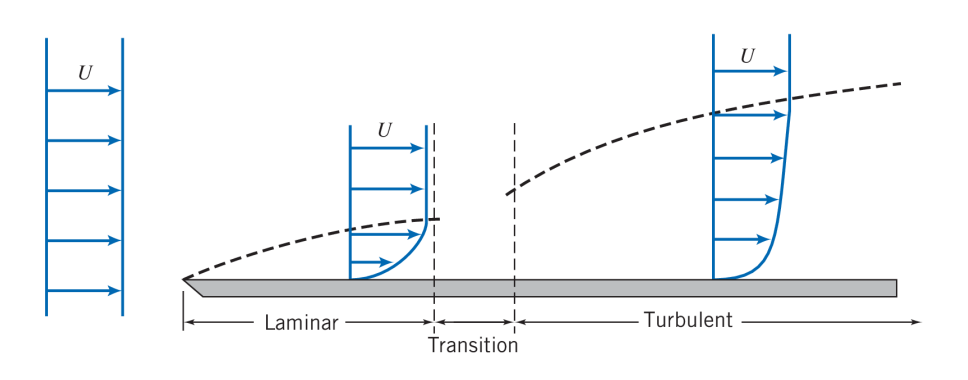
VÍDEO 03

https:

//www.boeing.com/history/products/jetfoil-hydrofoil.page



### Camada Limite sobre Placa Plana



Camada limite região adjacente a superfície sólida na presença de tensões viscosas



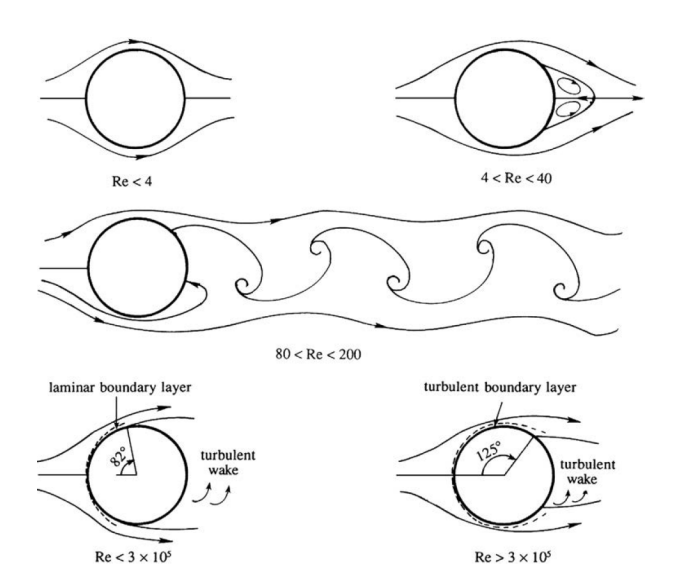
### Separação Laminar e Turbulenta - Bola de Boliche







### Forças de Inércia e Forças Viscosas



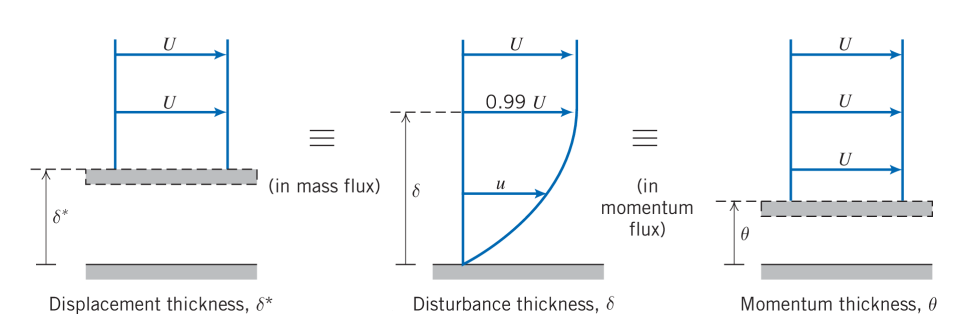


### Fatores de Transição da Camada Limite

- Gradiente de pressão;
- Rugosidade superficial;
- Transferência de calor;
- Forças de campo;
- Perturbações de corrente livre.



### Espessura Camada Limite





### Espessura Camada Limite

Definição usual adota a **espessura de perturbação**, definindo-a como distância da superfície na qual a velocidade se situa dentro de 1% da velocidade da corrente livre, ou seja, u=0.99U.

As demais definições baseiam-se apenas no princípio de que a camada limite retarda o escoamento do fluido, os fluxos de massa e de quantidade de movimento são menores do que eles seriam na ausência da camada limite, tal definição contribui para o equacionamento.



### Espessura de Deslocamento

Imaginemos agora que, fluido permaneça com velocidade  $\it U$  e a superfície da placa mova-se pra cima, reduzindo ambos os fluxos.

 $\delta^*$  sendo a distância que a placa seria deslocada para que a perda de  $\dot{m}$  fosse equiparada à perda ocasionada pela camada limite.

Sem camada limite

$$\dot{m} = \int_0^\infty \rho U \, dy w$$

Com camada limite

$$\dot{m} = \int_0^\infty \rho u \, dyw$$

Perda devido camada limite

$$\dot{m} = \int_0^\infty \rho \left( U - u \right) \, dyw$$



### Espessura de Deslocamento

Para velocidade constante U e placa deslocada para cima de uma distância de  $\delta^*$ , a perda de  $\dot{m}$  seria  $\rho U \delta^* w$ , igualando-se a perda da camada limite

$$\rho U \delta^* w = \int_0^\infty \rho \left( U - u \right) \, dy w$$

para escoamento incompressível,

$$\delta^* = \int_0^\infty \left(1 - \frac{u}{U}\right) dy \approx \int_0^\delta \left(1 - \frac{u}{U}\right) dy$$



### Espessura de Quantidade de Movimento

Distância em que a placa seria movida de modo que a perda da quantidade de movimento fosse equivalente à perda real causada pela camada limite.

Sem camada limite

$$\dot{QM} = \int_0^\infty \rho u U \, dyw$$

Com camada limite

$$\dot{QM} = \int_0^\infty \rho u^2 \, dyw$$

Perda devido camada limite

$$\dot{QM} = \int_0^\infty \rho u (U - u) \ dyw$$



### Espessura de Quantidade de Movimento

Para velocidade constante U e placa deslocada para cima de uma distância de  $\theta$ , a perda de QM seria  $\rho U^2 \theta w$ , igualando-se a perda da camada limite

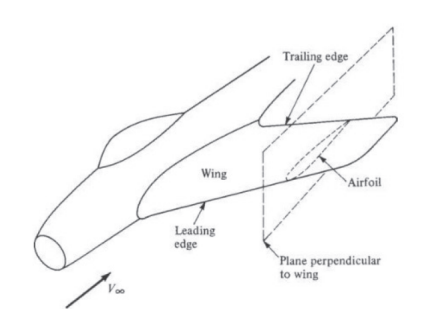
$$\rho U^2 \theta w = \int_0^\infty \rho u \left( U - u \right) \, dy w$$

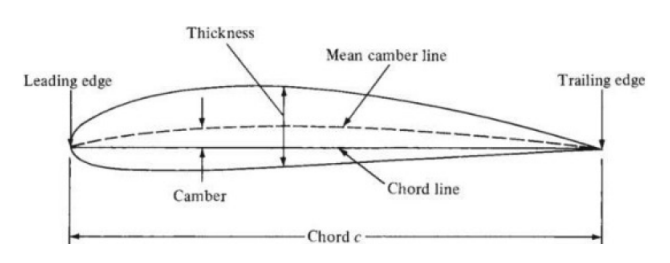
para escoamento incompressível,

$$heta = \int_0^\infty rac{u}{U} \left(1 - rac{u}{U}
ight) dy pprox \int_0^\delta rac{u}{U} \left(1 - rac{u}{U}
ight) dy$$



### Nomenclatura







### Corpos Imersos

Na presença de movimento relativo entre corpo sólido e fluido circundante viscoso haverá sempre uma força resultante F, decomposta em forças de arrasto  $(F_D)$  e de sustentação  $(F_L)$ .



#### Arrasto

Componente paralela ao movimento, abordado na análise dimensional como,

$$C_D = \frac{F_D}{1/2\rho v^2 A}$$

Sem compressibilidade

$$C_D = f(Re)$$

Com compressibilidade

$$C_D = f(Re, Fr, M)$$

Força de arrasto total é a soma dos arrastos de atrito e pressão



#### Arrasto de Atrito - Placa Plana Paralela ao Escoamento

Sendo gradiente de pressão nulo, as forças de pressão perpendiculares à placa não contribuindo para o arrasto, tem-se arrasto de atrito.

$$F_D = \int_{\partial \Omega} \tau_w dS$$

$$C_D = \frac{F_D}{1/2\rho v^2 A} = \frac{\int_{\partial \Omega} \tau_w dS}{1/2\rho v^2 A}$$

Escoamento Laminar

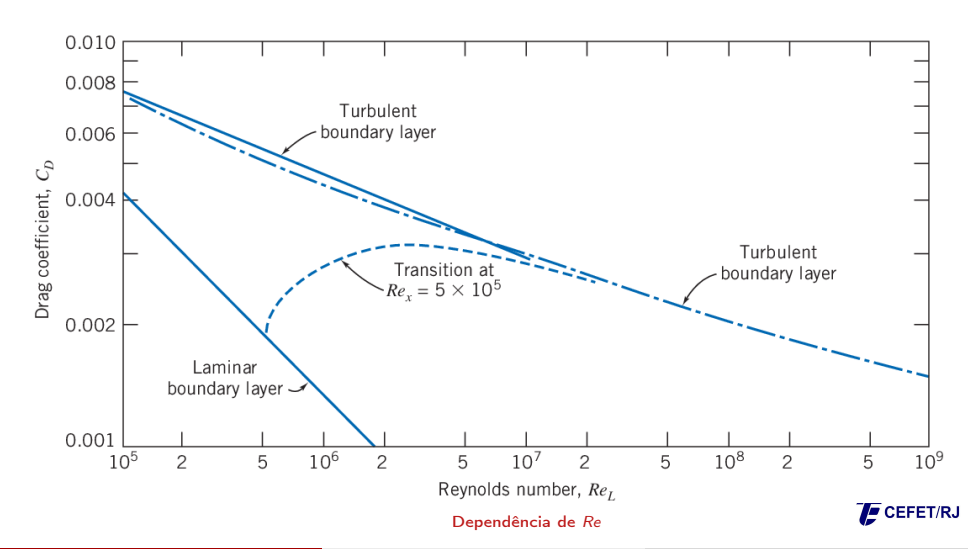
$$C_f = \frac{\tau_w}{1/2\rho U^2} = \frac{0.664}{\sqrt{Re_x}}, \qquad C_D = \frac{1.33}{\sqrt{Re_L}}$$

Escoamento Turbulento

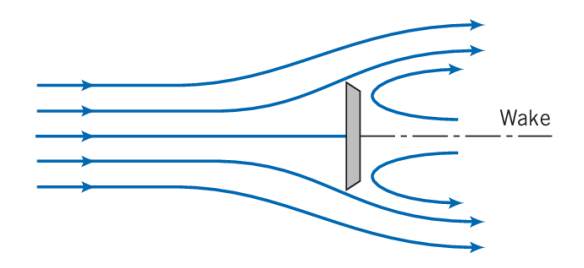
$$C_f = rac{ au_w}{1/2
ho U^2} = rac{0.0594}{\sqrt{Re_x^{1/5}}}, \qquad C_D = rac{0.0742}{\sqrt{Re_L^{1/5}}}$$



## Coeficiente de Arrasto de Atrito X Reynolds



### Arrasto de Pressão - Placa Plana Normal ao Escoamento

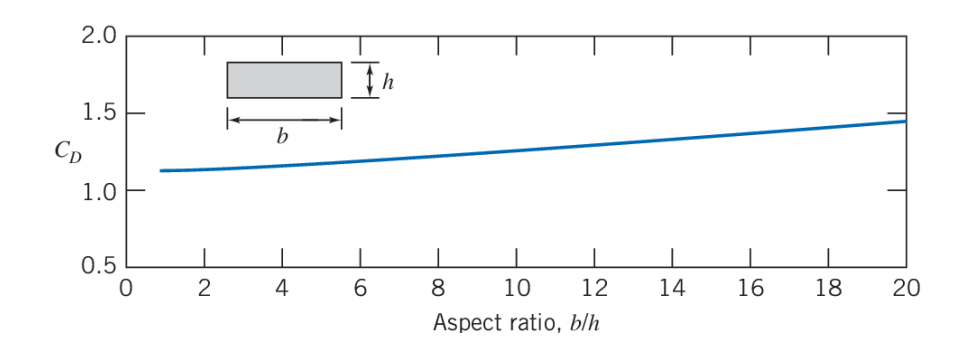


Tensão cisalhante na parede não contribui com arrasto.

$$F_D = \int_{\partial \Omega} p dS$$



## Coeficiente de Arrasto de Pressão X Razão de Aspecto



Independência de Re



### Coeficiente de Arrasto X Objetos Selecionados

#### Drag Coefficient Data for Selected Objects $(Re \ge 10^3)^a$

Object	Diagram		$C_D(Re \gtrsim 10^3)$
Square prism	_	$b/h = \infty$	2.05
	b	b/h = 1	1.05
	h		
Disk			1.17
Ring			$1.20^{b}$
Hemisphere (open end	<u>(0)</u>		1.42
facing flow)			
Hemisphere (open end			0.38
facing downstream)			
C-section (open side facing flow)			2.30
C-section (open side	$\sim$		1.20
facing downstream)			



#### Arrasto de Atrito e de Pressão - Esfera e Cilindro

Stokes modelou que escoamentos com  $Re \leq 1$ ,

$$F_D = 3\pi\mu v d$$

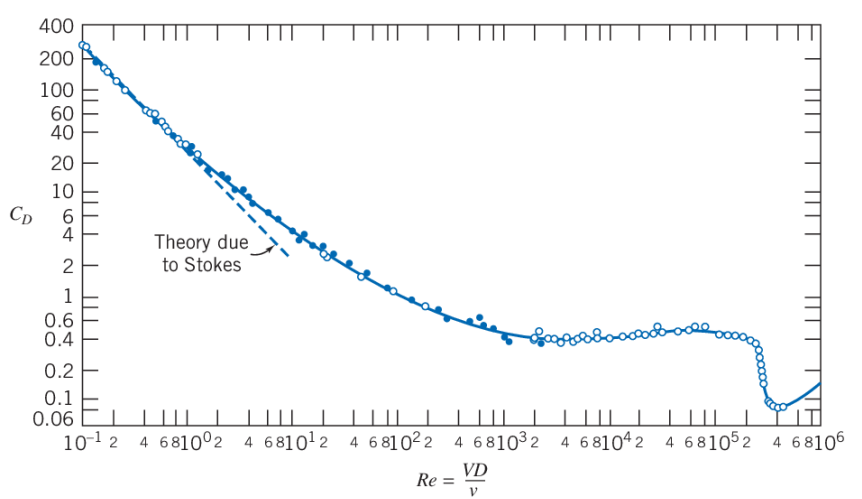
e o arrasto,

$$C_D = \frac{24}{Re}$$

O arrasto varia diretamente com tamanho da esteira

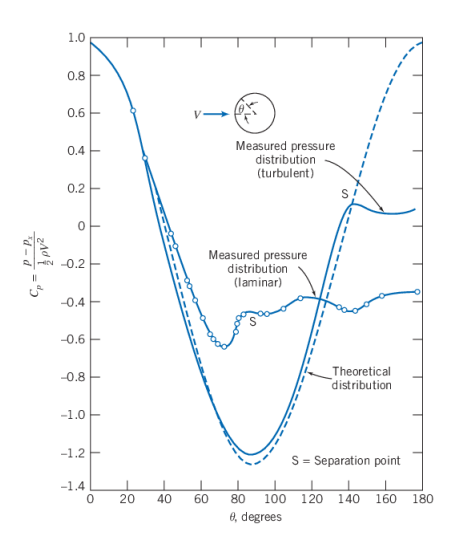


## C<sub>D</sub> Esfera X Reynolds





## Distribuição Pressão Esfera X Ângulo $\theta$





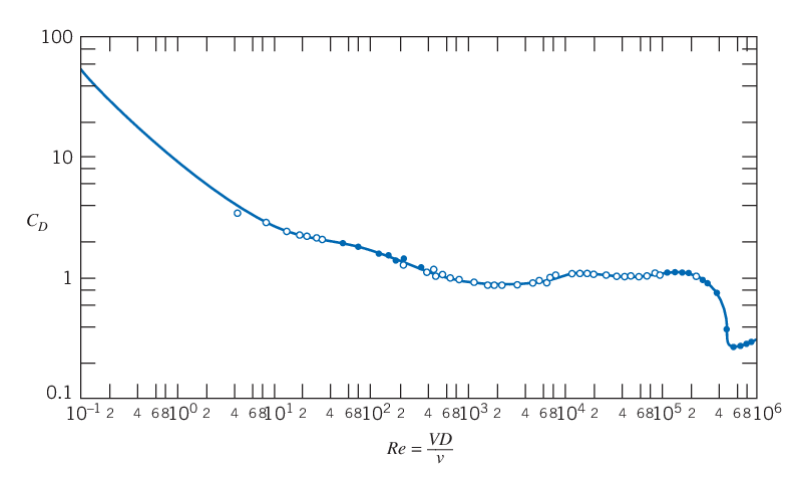
Re<1 não há separação do escoamento sobre uma esfera, a esteira é laminar e o arrasto é de atrite CEFET/RJ

#### Arrasto de Atrito e de Pressão

**VÍDEO 04** 



### C<sub>D</sub> Cilindro X Reynolds





### Situações Reais de Arrasto

Em numerosas situações de escoamentos reais ocorrem interações com objetos e superfícies vizinhas. O arrasto pode ser reduzido em torno de 80% quando se obtém um espaçamento ótimo entre vizinhos.

**VÍDEO 05** 



### Carenagem

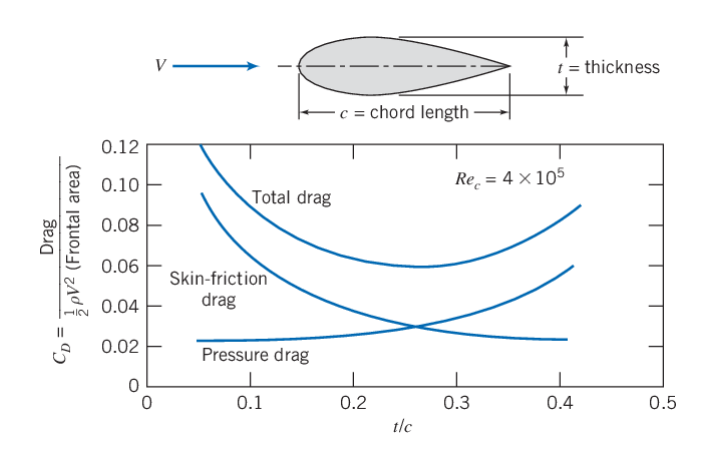
Objetiva reduzir gradiente de pressão adverso que ocorre na espessura máxima do corpo, retardando a separação da camada limite e reduzindo arrasto de pressão.

Adição de seção posterior carenada aumenta a área superficial do corpo, causando aumento do **arrasto por atrito** superficial.

Arrasto otimizado



# $C_D$ Carenagem X Razão de Espessura - $C_{D_{friction}}$ e $C_{D_{pressure}}$



 $C_D$  mínimo de 0.06 pata t/c=0.25, valor %80 menor que o arrasto de um cilindro circular de mesma espessura CEFET/RJ

### National Advisory Committee for Aeronautics - NACA

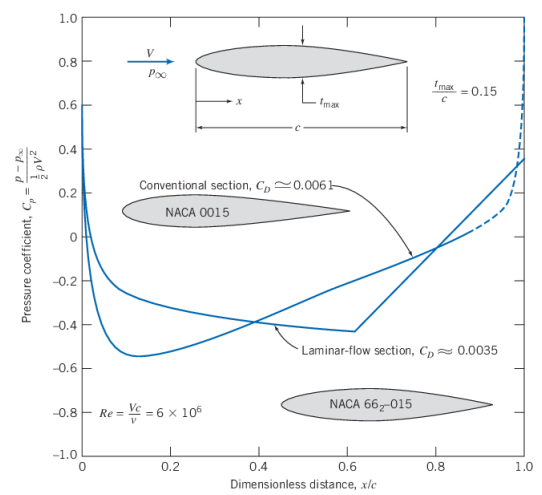
Em 1930 surgiu o interesse em aerofólios de baixo arrasto, a *NACA* desenvolveu diversas séries de aerofólios cuja transição de escoamento postergava-se até 65% da corda a partir do nariz do aerofólio.

NACA é predecessora da NASA



## C<sub>p</sub> Airfoil X Distância Adimensional

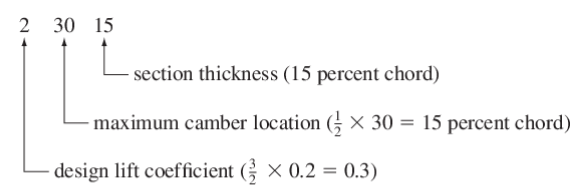
Pressão e arrasto para aerofólios simétricos, transição para gradiente de pressão adverso NACA 0015 em x/c=0.13 (próximo da espessura máxima), e NACA 66 - 015 em x/c=0.63



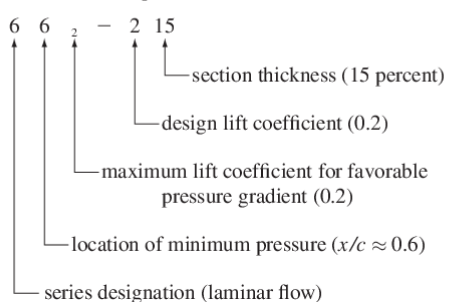


### Designação de Forma

#### Conventional — 23015



#### Laminar Flow— $66_2 - 215$



CEFET/RJ

Aerofólios de linha curva são denominados cambados, aerofólios cambados dão lift com ataque nulo rodolfo.sobral@cefet-rj.br

#### Arrasto Aerodinâmico

Redução do arrasto aerodinâmico faz-se importante não apenas na aviação, veículos rodoviários tem interesse em economia de combustível afim de redução de custos de fretes e/ou redução de passagens.

Limitação do comprimento total destes veículos, traseiras inteiramente carenadas não são práticas, exceto em veículos de alta performance.







### Sustentação

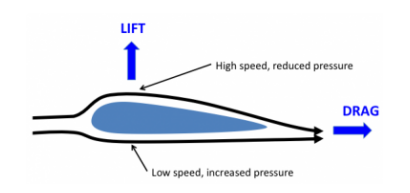
Componente perpendicular ao movimento, abordado na análise dimensional como,

$$C_L = \frac{F_L}{1/2\rho v^2 A_p}$$



### Sustentação Aerodinâmica

Dependente de Reynolds e do ângulo de ataque  $\alpha$  (entre a corda e o vetor velocidade da corrente livre).



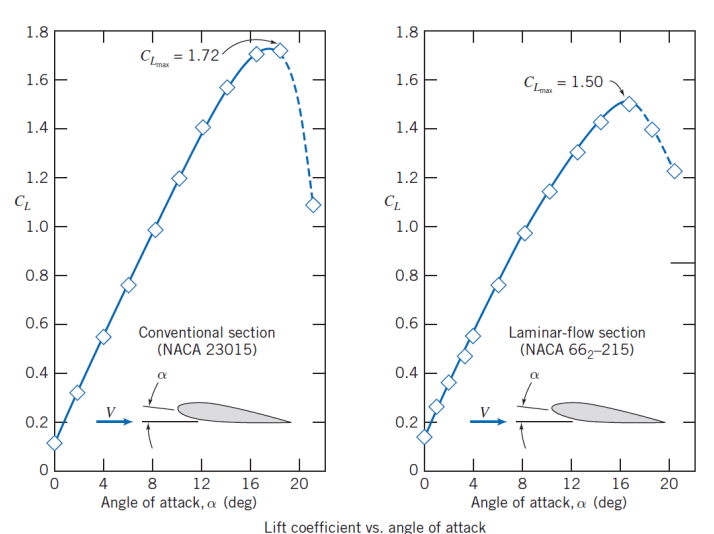


#### Termos usuais:

- Intradorso
- Extradorso
- Zona de sucção
- Zona de pressão



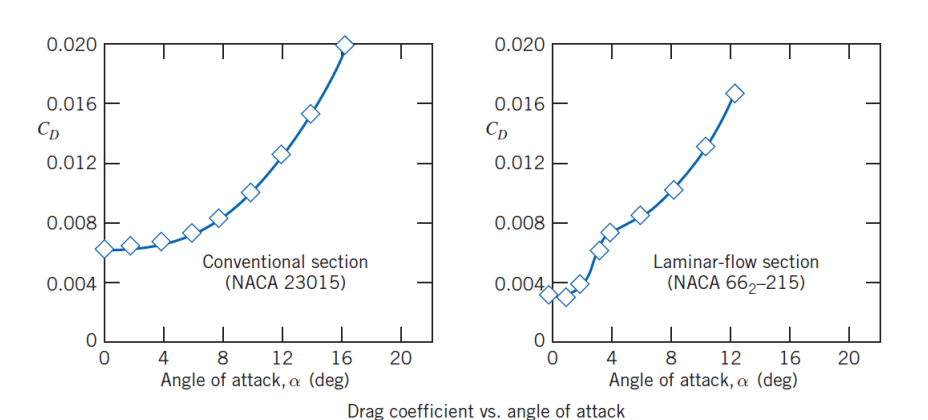
### Lift $\times \alpha$



Aumento do ângulo de ataque, aumenta  $\Delta p$  e o lift até um ponto de máximo (Stall)



### $\mathsf{Drag} \times \alpha$

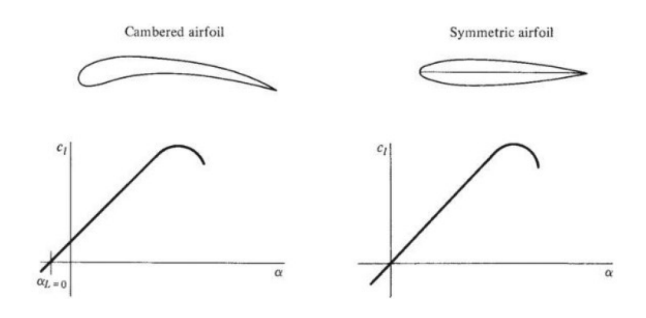


and the standard and a standard and

Aceleração do gradiente adverso, oriunda de elevado ataque, ocasiona o aumento do arrasto



### Comparação de Lift - Airfoil Cambado x Airfoil Simétrico





# $\alpha={\rm 4^0}$ - Abaixo do Stall - Acoplado





### $\alpha=11^{0}$ - Próximo do Stall





# $\alpha={\rm 24^0}$ - Acima do Stall - Desacoplado





### Stall

### **VÍDEO 06**

Perda aerodinâmica de sustentação, ocorre quando asa do avião/aerofólio excede o ângulo crítico de ataque



#### **XFoil**

Software para projeto e análise de aerofólios subsônicos isolados.

- Análise viscosa e invíscida
- Correção de compressibilidade de Karman-Tsien
- Variações de Reynolds e Mach
- Distribuições de pressão
- Deflexão de flap

https://web.mit.edu/drela/Public/web/xfoil/



Someone's sitting in the shade today because someone planted a tree a long time ago

Warren Buffett

